

SMILES L2データ処理における逆問題の解析手法

眞子直弘¹, 鈴木睦², 佐野琢己², 光田千紘³, 今井弘二⁴,
山田道夫⁵, 竹広真一⁵, 塩谷雅人⁶

¹千葉大/CEReS, ²JAXA/ISAS, ³富士通FIP, ⁴とめ研究所, ⁵京大数理研, ⁶京大生存圏研

2013年 2月15日

平成24年度宇宙科学情報解析シンポジウム

内容

1 序論

- はじめに
 - SMILESの概要
 - SMILES L2データ処理

2 逆問題の解析手法

- 逆問題の難点
- 不良設定問題の解法
 - 最適推定法 (OEM)
 - チコノフ正則化法 (TRM)
 - エントロピー最大化法 (MEM)

3 SMILESへの応用

- SMILESデータの解析
 - SMILESの逆解析方法
 - SMILESの実データ例

4 結論

- おわりに
 - まとめと今後の展望

SMILESの概要

超伝導サブミリ波リム放射サウンダ

Superconducting Submillimeter-Wave
Limb-Emission Sounder

- 超伝導ミクサによる高感度観測
- 太陽非同期軌道での観測
- ~600GHzに3つの観測バンド
- O₃, HCl, ClO, HOCl, HO₂, BrO, etc.
- 大気観測 : 2009/10/10 – 2010/04/21

SMILES L2データ処理

Forwardモデル

$$y = F(x) + \epsilon$$

x ... 各高度の分子混合比(未知数)

y ... 各接線高度の観測輝度温度

F ... Forwardモデル

ϵ ... 観測ノイズ

線型近似 (Taylor展開)

$$y = F(x_a) + K(x - x_a) + \epsilon$$

x_a ... 先験値(アプリアリ)

$$K \dots \frac{\partial F}{\partial x}$$

実際の解析では、 x, x_a は n 行ベクトル、
 y, ϵ は m 行ベクトル、 K は $m \times n$ 行列

$n \sim 250, m \sim 60,000$

不良設定問題

逆問題

$$\mathbf{y} = \mathbf{F}(\mathbf{x}_a) + \mathbf{K}(\mathbf{x} - \mathbf{x}_a)$$

既知数 \mathbf{y} から未知数 \mathbf{x} を求める

$$\mathbf{x} = \mathbf{x}_a + \mathbf{K}^{-1}(\mathbf{y} - \mathbf{F}(\mathbf{x}_a)) ?$$

特異値分解

$$\mathbf{K} = \mathbf{U}\mathbf{\Sigma}\mathbf{V}^T$$

$$\mathbf{\Sigma} = \text{diag}(\sigma_1, \dots, \sigma_p, 0, \dots)$$

$$\mathbf{U}^T\mathbf{U} = \mathbf{V}^T\mathbf{V} = \mathbf{I} \text{ (直交)}$$

- 独立な方程式の数…
行列のランク=正特異値の数(p)
- ⇒ 一般的なLimb観測では $m > n > p$
- ⇒ **条件式が不足 (不良設定問題)**

More-Penroseの一般逆行列

$$\mathbf{K}^\dagger = \mathbf{V}_p \mathbf{\Sigma}_p^{-1} \mathbf{U}_p^T$$

最小二乗法

$$\chi^2(\mathbf{x}) = \sum_i \frac{(y_i - F_i(\mathbf{x}))^2}{\sigma_i^2}$$

$$\chi^2(\mathbf{x}) = (\mathbf{y} - \mathbf{F}(\mathbf{x}))^T \mathbf{S}_y^{-1} (\mathbf{y} - \mathbf{F}(\mathbf{x}))$$

- 不良設定問題 → χ^2 が小さい解は無数にあり、一意に求まらない
- 別の拘束条件 (c) が必要

Cost Function

$$M(\mathbf{x}) = \chi^2(\mathbf{x}) + c(\mathbf{x})$$

χ^2 と c を同時最小化 (OEM, TRM, MEM)

最適推定法 (Optimal Estimation Method: OEM)

OEMの拘束条件

$$c_{\text{OEM}}(x) = \frac{(x - x_a)^2}{\sigma_a^2}$$

$$c_{\text{OEM}}(\mathbf{x}) = (\mathbf{x} - \mathbf{x}_a)^T \mathbf{S}_a^{-1} (\mathbf{x} - \mathbf{x}_a)$$

Bayesの定理より最大事後確率
推定法によって導かれる

Bayesの定理

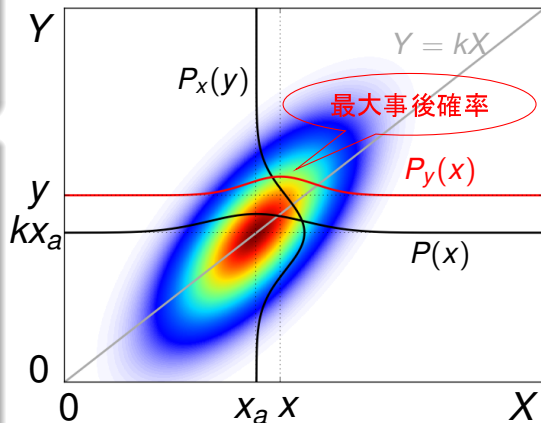
$$P_Y(x) = \frac{P_X(y)P(x)}{P(y)}$$

$$P(x) = \frac{1}{\sigma_a \sqrt{2\pi}} \exp \left[-\frac{(x - x_a)^2}{2\sigma_a^2} \right]$$

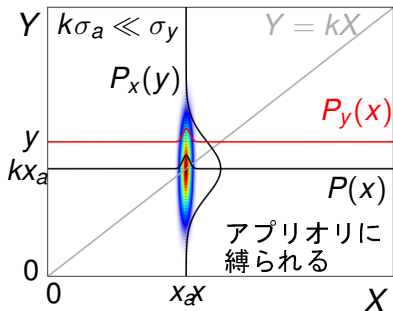
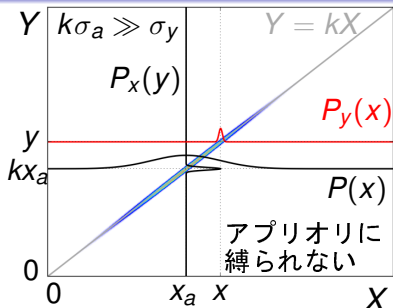
$$P_X(y) = \frac{1}{\sigma_y \sqrt{2\pi}} \exp \left[-\frac{(y - kx)^2}{2\sigma_y^2} \right]$$

事後確率

$$P_Y(x) \propto \exp \left[-\frac{1}{2} \left(\frac{(x - x_a)^2}{\sigma_a^2} + \frac{(y - kx)^2}{\sigma_y^2} \right) \right]$$



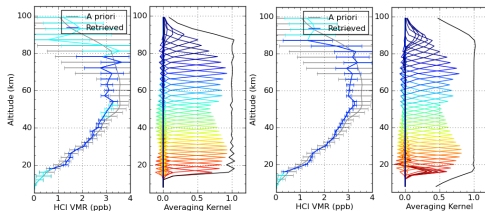
OEMの分散共分散行列 (S_a) について



高度相関

$$[S_a]_{i,j} = \sigma_a^2 \exp\left(-\frac{|z_i - z_j|}{z_s}\right)$$

特に, $[S_a]_{i,j} = \sigma_a^2 \alpha^{|i-j|}$ の形である場合,
 S_a^{-1} は単位行列&2次差分行列の線型結合
 1次差分行列 $L_1: [L_1 \mathbf{x}]_i = x_i - x_{i-1}$
 2次差分行列 $L_2: [L_2 \mathbf{x}]_i = x_{i-1} + x_{i+1} - 2x_i$
 高度相関を入れると, $\mathbf{x} - \mathbf{x}_a$ およびその
 2次差分に拘束条件が課される



(左)高度相関なし, (右)10km高度相関あり

チコノフ正則化法 (Tikhonov Regularization Method: TRM)

TRMの拘束条件

- アプリオリとの差 $(\mathbf{x} - \mathbf{x}_a)$ が小さくなるように拘束する

$$c_{\text{TRM}}(\mathbf{x}) = (\mathbf{x} - \mathbf{x}_a)^T \alpha \mathbf{L}^T \mathbf{L} (\mathbf{x} - \mathbf{x}_a)$$

\mathbf{L} … 正則化行列

α … 正則化パラメータ

正則化行列

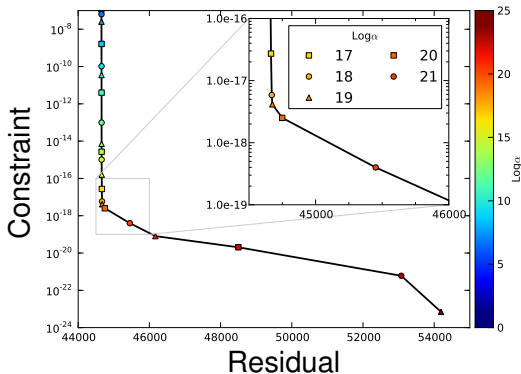
- 直接的に小さくする $\Rightarrow \mathbf{L} = \mathbf{I} (= \mathbf{L}_0)$
- 間接的に小さくする $\Rightarrow \mathbf{L} = \mathbf{L}_n$
 - \mathbf{L}_n は n 次の差分行列
 - 次数が大きいほど高度相関大 (高度分解能悪くなる)

正則化パラメータ

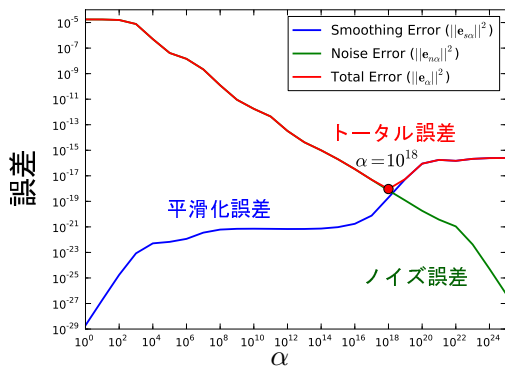
$c'_{\text{TRM}} = c_{\text{TRM}}/\alpha$ とおくと, Cost Function は $M(\mathbf{x}) = \chi^2(\mathbf{x}) + \alpha c'_{\text{TRM}}(\mathbf{x})$ のように書ける. 正則化パラメータ α は, Residual χ^2 と Constraint c'_{TRM} のバランス調整の役割を果たす

- α が小さ過ぎる \Rightarrow ノイズが多い解
- α が大き過ぎる \Rightarrow 観測に無関係な解
- α が適度 \Rightarrow 適度に平滑化された解
- **TRMでは正則化パラメータ α の決定が非常に重要**

TRMの正則化パラメータの決め方



- Residual $\dots \alpha$ の単調増加関数
- Constraint $\dots \alpha$ の単調減少関数
- Residual vs. Constraint曲線(L字型)
 - ⇒ L字の角 \dots 両者のバランス点
- 1点毎にリトライを行う
 - ⇒ 多大な計算時間が必要



- 平滑化誤差 $\dots \alpha$ の単調増加関数
- ノイズ誤差 $\dots \alpha$ の単調減少関数
- 平滑化誤差, ノイズ誤差は一般化特異値分解で求められる
 - ⇒ 高速な見積りが可能

エントロピー最大化法 (Maximum Entropy Method: MEM)

MEMの拘束条件

$$C_{\text{MEM}}(\mathbf{x}) = -\alpha S(\mathbf{x})$$

$$S(\mathbf{x}) = -\sum_{i=1}^n q_i(\mathbf{x}) \ln [q_i(\mathbf{x})]$$

S ... Shannonの情報量

α ... 正則化パラメータ

2次のMEM

$$q_i = p_i / \sum_{i=1}^n p_i$$

$$p_i = x_{i-1} + x_{i+1} - 2x_i \quad (\text{2次差分})$$

$$+ 2(x_{\text{max}} - x_{\text{min}}) + \zeta \quad (\text{正定数})$$

$$> 0$$

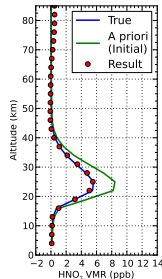
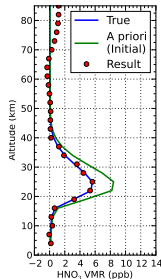
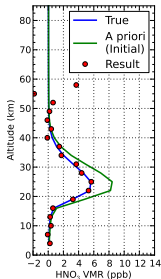
- パラメータ(q_i)は規格化されている
- アプリオリ(\mathbf{x}_a)への依存度が小さい
- α の決め方はTRMと同じ
- Toyモデルを使ったテストではTRM (L_2) とほぼ同様の結果が得られている

HNO₃リトリーバルテスト結果

OEM

TRM(L_2)

MEM



SMILESの逆解析方法

ハイブリッド法 (OEM+TRM)

$$C_{\text{hyb}}(\mathbf{x}) = (\mathbf{x} - \mathbf{x}_a)^T \mathbf{S}_a^{-1} (\mathbf{x} - \mathbf{x}_a) + (\mathbf{x} - \mathbf{x}_a)^T \mathbf{L}^T \mathbf{S}_r^{-1} \mathbf{L} (\mathbf{x} - \mathbf{x}_a)$$

\mathbf{S}_r : 正則化の"分散共分散行列"

- MLSと同様の手法
 - MLSでは $\mathbf{S}_r = \alpha^{-1} \mathbf{I}$, $\mathbf{L} = \mathbf{L}_2$
- SMILESでは $\mathbf{S}_r = \alpha^{-1} \mathbf{S}_a$
 - \mathbf{S}_a を使ってパラメータを規格化
 - $\alpha = 1$, $\mathbf{L} = \mathbf{I}$ ならばOEMそのもの
- O_3 , HCl , HNO_3 に適用
 - $\mathbf{L} = \mathbf{L}_1$
 - O_3 , $\text{HCl} \cdots \alpha = 10$
 - $\text{HNO}_3 \cdots \alpha = 100$
 - OEMの高度相関も入れる(10km)

- 解の不確定性

$$\mathbf{S}_x = \left[\mathbf{S}_a^{-1} + \mathbf{L}^T \mathbf{S}_r^{-1} \mathbf{L} + \mathbf{K}^T \mathbf{S}_y^{-1} \mathbf{K} \right]^{-1}$$

- ⇒ 拘束条件が増えるほど逆数が増加
- ⇒ 不確定性は小さくなる

- 解の収束判定

現状では解の変動が解の不確定性よりも小さいことが条件

- ⇒ TRM導入により収束率は悪化

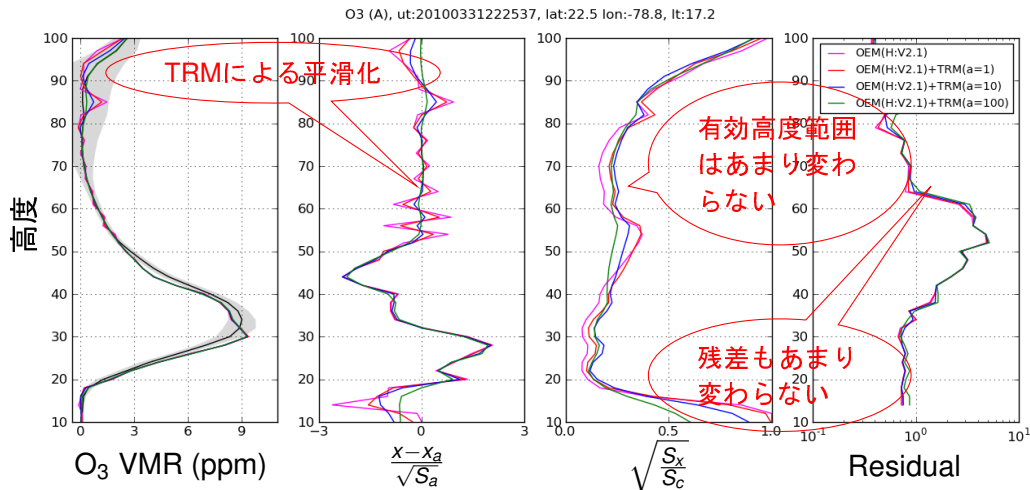
- 有効高度範囲

\mathbf{S}_x と測定誤差以外の成分,

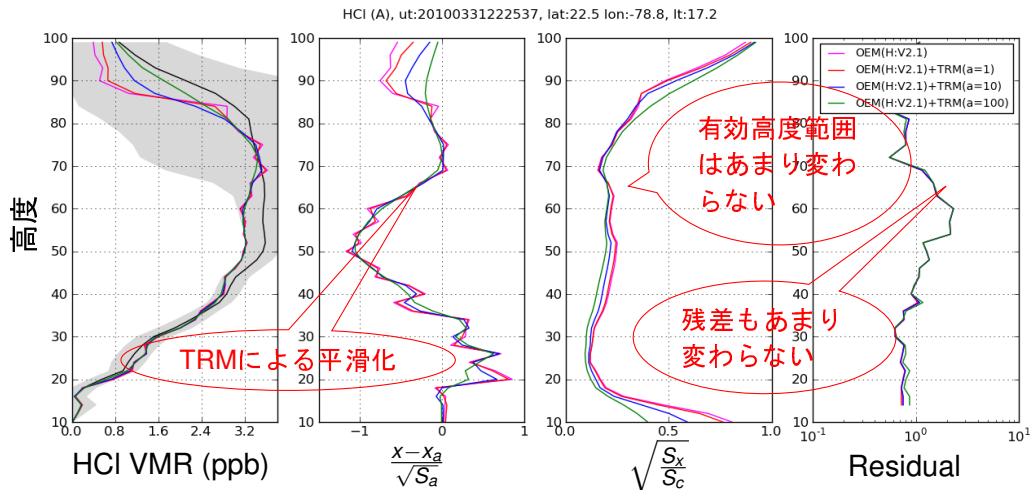
$$\mathbf{S}_c = \left[\mathbf{S}_a^{-1} + \mathbf{L}^T \mathbf{S}_r^{-1} \mathbf{L} \right]^{-1}$$

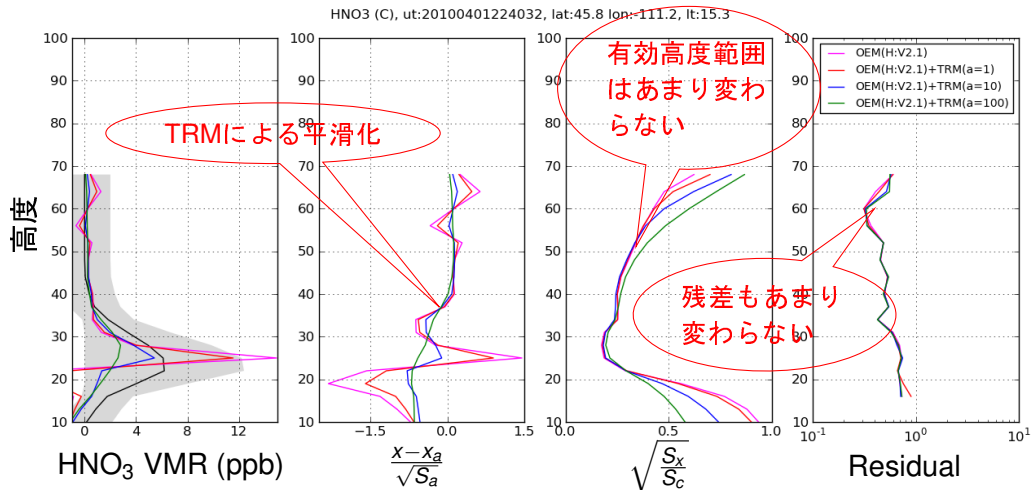
の対角成分を比較し, $S_x/S_c < 0.25$ である範囲を有効とする

- ⇒ この方針でうまくいっている

SMILESの実データ例 (O₃)

SMILESの実データ例 (HCI)



SMILESの実データ例 (HNO₃)

おわりに

まとめと今後の展望

まとめ

- SMILES L2データ処理の逆解析アルゴリズムとして、OEM, TRM, MEMの3つの手法について検討した
- 実際のL2データ処理では、以前から使用していたOEMとTRMを併用する形で導入するのが容易かつ効果が高いことが分かった
- これまでに、 O_3 , HCl, HNO_3 の3分子種についてOEM+TRMを実装し、高々度での振動の抑制などに成功している
- 現状では収束判定を以前と同じ方法で行っており、TRM導入によって収束率が悪化した

今後の展望

- TRMに適した収束判定アルゴリズムの検討
- 高度別正則化パラメータの検討
- HO_2 等、輝線強度の弱い分子種についてもTRMの導入を検討する

References



C. D. Rodgers

Inverse Methods For Atmospheric Sounding: Theory and Practice
World Scientific, 2000.



A. Doicu, T. Trautmann, F. Schreier

Numerical Regularization for Atmospheric Inverse Problems.
Springer, 2010.



J. Steinwagner, G. Schwarz, S. Hilgers

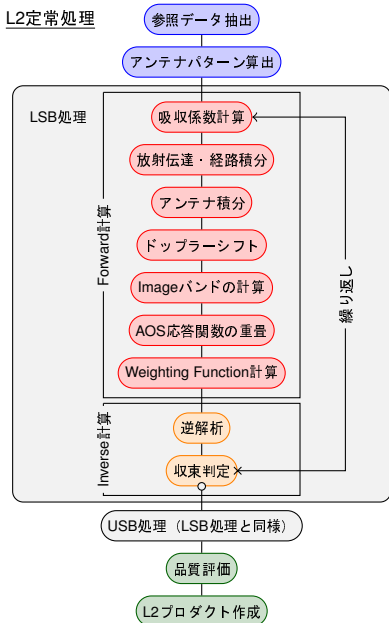
Use of a Maximum Entropy Method as a Regularization Technique during the Retrieval of Trace Gas Profiles from Limb Sounding Measurement
J. Atmos. Oceanic Technol., 23(12):1657–1667, 2006.



D. J. Jacob

Lectures on Inverse Modeling
Harvard University, 2007.

SMILES L2データ処理の計算量



高精度化・高速化のための工夫

- AOSのサンプリング(800kHz)より細かい50-100kHz間隔で計算
 - 計算量8-16倍→計算グリッドの最適化により計算量増加を抑制
- Voigt関数の高性能計算法を新開発
 - 速度2-3倍,精度4桁保証(Imai et al)
- 厳密なアンテナパターンの計算
 - 計算量100倍→5倍程度に高速化
 - 中間圏 O_3 が1%変化

ラックマウントサーバー8台程度で、
観測時間の1/3程度の時間で処理可能

- Non-Voigt関数の取り込みを検討中
 - Speed dependent Voigt, Galatryで計算量が2桁増える